

CAMPUS® Automobil OEM Datenblatt

VESTAMID® L1930 - PA12-GD30

Evonik Industries AG



| Physikalische Kennwerte | I | M | A ¹ | tr. / kond. | Einheit | Prüfnorm |
|---|---|----------------|----------------|-------------|------------------------|----------------------|
| Schmelzevolumenrate, MVR | X | X | X | - / * | cm ³ /10min | ISO 1133 |
| Temperatur | X | X | X | - / * | °C | ISO 1133 |
| Belastung | X | X | X | - / * | kg | ISO 1133 |
| Viskositätszahl | X | X | X | - / * | cm ³ /g | ISO 307, 1157, 1628 |
| Verarbeitungsschwindigkeit, parallel | X | X | X | 0.7 / * | % | ISO 294-4, 2577 |
| Verarbeitungsschwindigkeit, senkrecht | X | X | X | 0.6 / * | % | ISO 294-4, 2577 |
| Feuchtigkeitsaufnahme | X | X | X | 0.5 / * | % | Ähnlich ISO 62 |
| Wasseraufnahme | X | X | X | 1.1 / * | % | Ähnlich ISO 62 |
| Dichte | X | X | X | 1240 / - | kg/m ³ | ISO 1183 |
| Art und Gehalt an Verstärkungsstoff | | | | - | - | ISO 3451-1 |
| Mechanische Eigenschaften | I | M | A ¹ | tr. / kond. | Einheit | Prüfnorm |
| Zug-Modul | X | X | X | 3740 / - | MPa | ISO 527-1/-2 |
| Streckspannung | X | X | X | 63 / - | MPa | ISO 527-1/-2 |
| Bruchspannung | X | X | X | * / - | MPa | ISO 527-1/-2 |
| Streckdehnung | X | X | X | 4.5 / - | % | ISO 527-1/-2 |
| Bruchdehnung | X | X | X | * / - | % | ISO 527-1/-2 |
| Charpy-Schlagzähigkeit, +23°C | X | X | X | 89C / -- | kJ/m ² | ISO 179/1eU |
| Charpy-Kerbschlagzähigkeit, +23°C | X | X | X | 8C / -- | kJ/m ² | ISO 179/1eA |
| Charpy-Schlagzähigkeit, -30°C | X | X | X | 65C / -- | kJ/m ² | ISO 179/1eU |
| Charpy-Kerbschlagzähigkeit, -30°C | X | X | X | 11C / -- | kJ/m ² | ISO 179/1eA |
| Durchstoß - Zäh-/Spröd-Übergangstemperatur | X | X | | - | °C | ISO 6603-2 |
| Thermische Eigenschaften | I | M | A ¹ | tr. / kond. | Einheit | Prüfnorm |
| Schmelztemperatur, 10°C/min | X | X | X | 178 / * | °C | ISO 11357-1/-3 |
| Glasübergangstemperatur, 10°C/min | X | X | X | - / * | °C | ISO 11357-1/-2 |
| Formbeständigkeitstemperatur, 1.80 MPa | X | X | X | 130 / * | °C | ISO 75-1/-2 |
| Formbeständigkeitstemperatur, 0.45 MPa | X | X | X | 170 / * | °C | ISO 75-1/-2 |
| Formbeständigkeitstemperatur, 8.00 MPa | X | X | X | * / * | °C | ISO 75-1/-2 |
| Vicat-Erweichungstemperatur, 50°C/h 50N | X | X | X | 170 / * | °C | ISO 306 |
| Längenausdehnungskoeffizient -40°C bis +100°C, längs | X | X | X | - | E-6/K | ISO 11359-1/-2 |
| Coeff. of linear therm. expansion -40°C to +100°C, normal | X | X | X | - | E-6/K | ISO 11359-1/-2 |
| FMVSS | X | | | - | - | ISO 3795 (FMVSS 302) |
| Brennverhalten, FMVSS, Probendicke 1 mm | X | | | - | mm/min | ISO 3795 (FMVSS 302) |
| Brennbarkeit bei nominal 1.5mm | | X | X | HB / * | class | IEC 60695-11-10 |
| Emission und Geruch | I | M | A ¹ | Wert | Einheit | Prüfnorm |
| Emission organischer Verbindungen | X | | | - | µgC/g | VDA 277 |
| Thermodesorptionsanalyse organischer Emissionen | X | | | - | µg/g | VDA 278 |
| Geruchsprüfung | X | X ² | | - | class | VDA 270 |
| Langzeit-/Alterungsverhalten | I | M | A ¹ | Wert | Einheit | Prüfnorm |
| Thermostabilität in Luft (Charpy bei 50% Abfall, 3000h) | X | X | X | - | °C | DIN/IEC 60216-1 |
| Probe | | | | - | - | - |

LTHA-Charpy-Kerbschlagzähigkeit

No data available

¹I=Teile im Innenraum, M=Teile Im Motorraum, A=Teile an der Außenhaut

²luftführende Teile mit Kontakt zum Innenraum

VESTAMID® L1930 - PA12-GD30
Evonik Industries AG

LTHA-Bruchspannung

No data available

| Bewitterungsstabilität, ISO 4892-2, Methode A | I | M | A¹ | Wert | Einheit | Prüfnorm |
|--|----------|----------|----------------------|-------------|----------------|-----------------|
| Bewitterungsstabilität delta I | | | X | - | - | DIN 53236 |
| Bewitterungsstabilität delta a | | | X | - | - | DIN 53236 |
| Bewitterungsstabilität delta b | | | X | - | - | DIN 53236 |
| Bewitterungsstabilität delta E | | | X | - | - | DIN 53236 |
| Bewitterungsstabilität Graumaßstab | | | X | - | - | ISO 105-A02 |
| Lichtstabilität, ISO 4892-2, Methode B | I | M | A¹ | Wert | Einheit | Prüfnorm |
| Lichtstabilität delta I | X | X | | - | - | DIN 53236 |
| Lichtstabilität delta a | X | X | | - | - | DIN 53236 |
| Lichtstabilität delta b | X | X | | - | - | DIN 53236 |
| Lichtstabilität delta E | X | X | | - | - | DIN 53236 |
| Lichtstabilität Graumaßstab | X | X | | - | - | ISO 105-A02 |

Aging in media

| Aging Time | LTHA-Charpy-Kerbschlagzähigkeit | | | |
|--|--|--------------|--------------|---------------|
| | 0 h | 168 h | 480 h | 1000 h |
| ISO 1817 Treibstoff 2, 60°C | - | - | - | - |
| Diesel EN 590, 100°C | - | - | - | - |
| Kühlflüssigkeit Glysantin G48, 1:1 in Wasser, 125°C | - | - | - | - |
| DOT Nr. 4 Bremsflüssigkeit, 120°C | - | - | - | - |
| Motoröl OS206 304 Ref.Eng.Oil, ISP, 135°C | - | - | - | - |
| Automatik-Getriebeöl Shell Donax TX, 135°C | - | - | - | - |
| Hydrauliköl Pentosin CHF 202, 125°C | - | - | - | - |

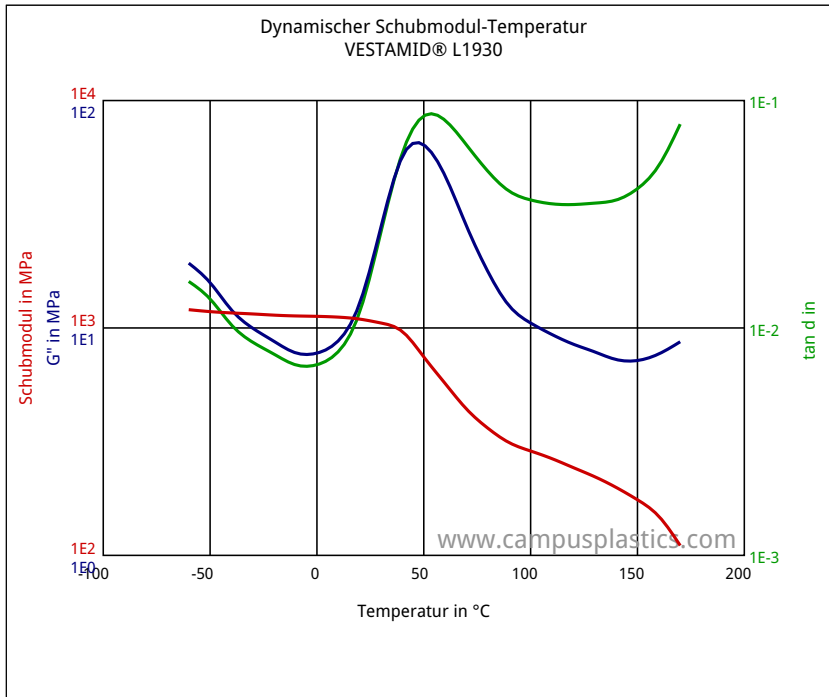
Dynamisch Mechanische Analyse

Dynamischer E-Modul-Temperatur

No data available

¹I=Teile im Innenraum, M=Teile Im Motorraum, A=Teile an der Außenhaut

Dynamischer Schubmodul-Temperatur



CLTE

Thermal expansion
No data available

¹I=Teile im Innenraum, M=Teile Im Motorraum, A=Teile an der Außenhaut